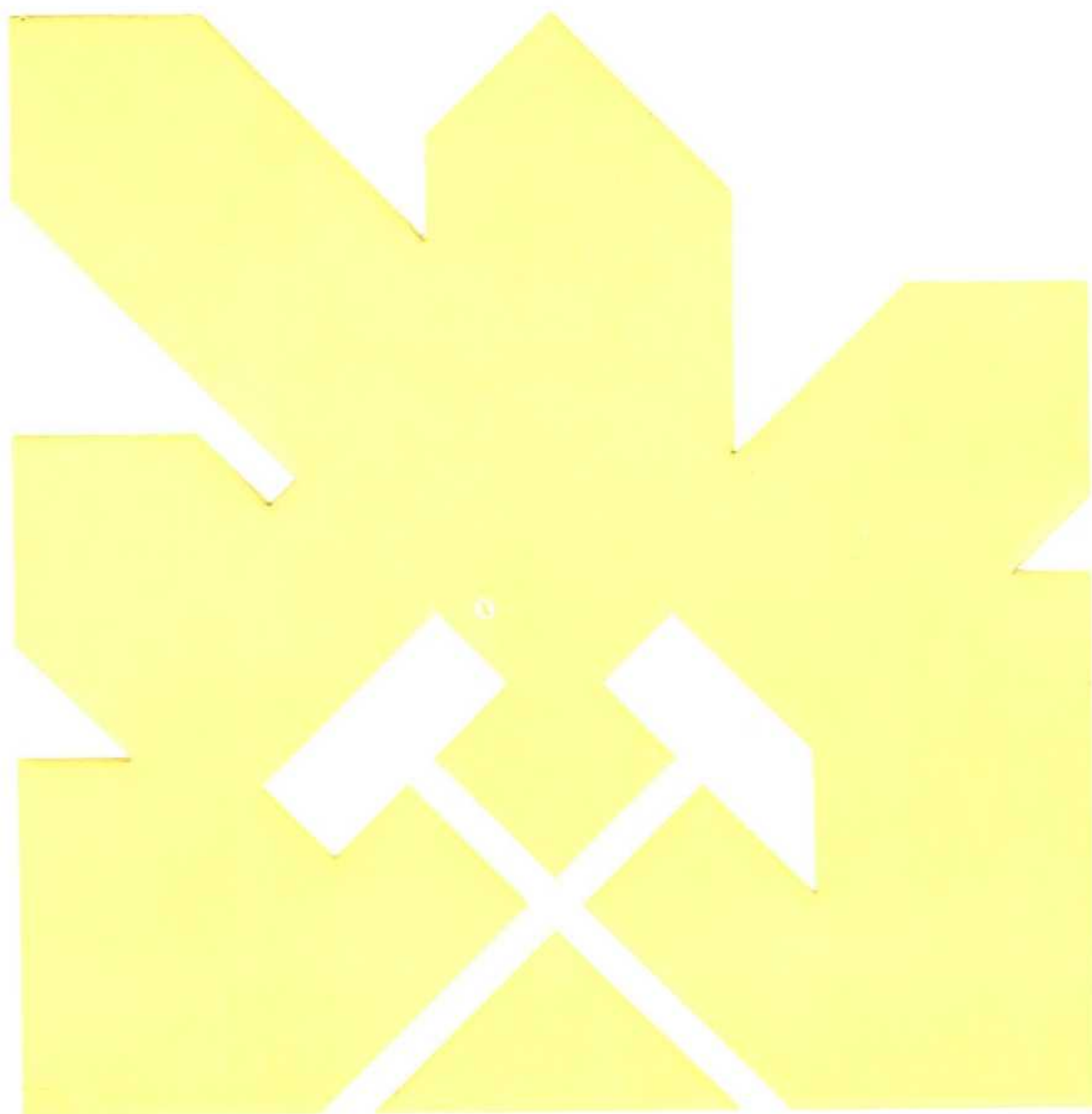


MINISTERIO DE INDUSTRIA Y ENERGIA
COMISARIA DE LA ENERGIA Y RECURSOS MINERALES

ESTUDIO Y CATALOGACION DE PUNTOS DE
INTERES GEOLOGICO-MINERO EN LOS SEC-
TORES CENTRAL Y ORIENTAL DE GALICIA.

P.I.G. N.º

10



INSTITUTO GEOLOGICO Y MINERO DE ESPAÑA

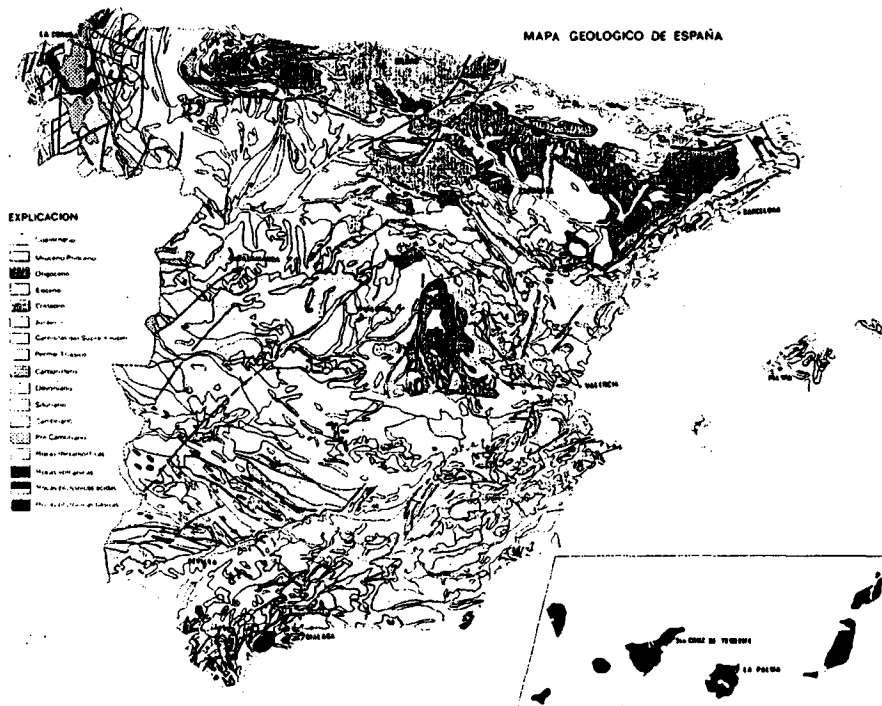
27110

ARCHIVO NACIONAL DE PUNTOS DE INTERES GEOLÓGICO

Expediente

Información reservada

Información pública



10 **PLIEGUE DEL CAUREL**

CUADRICULA 1:50.000

122	123	124	125
154	155	156	157
187	188	189	190
225	226	227	228

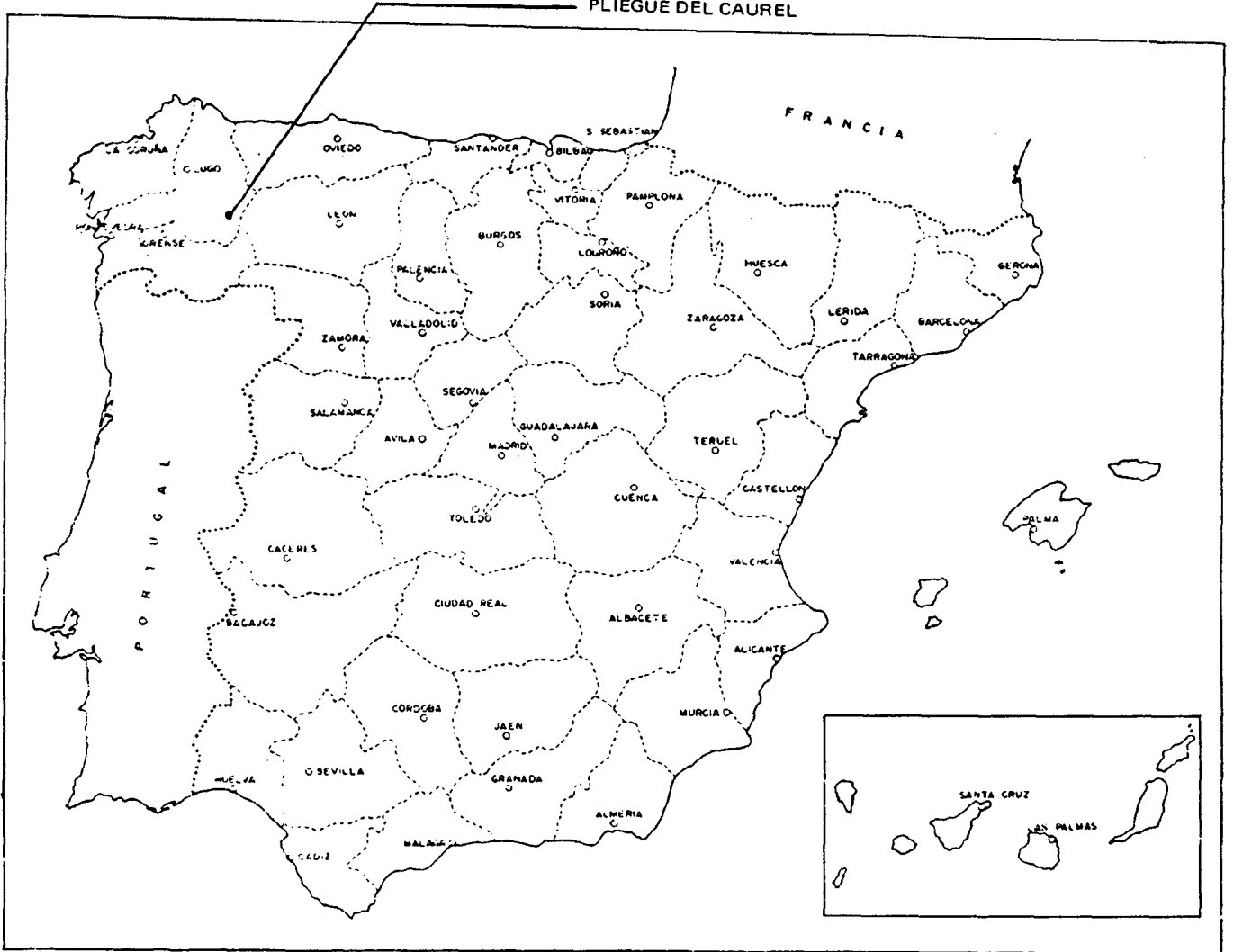
OTRA DOCUMENTACION

- FOTOGRAFIAS
- DIAPOSITIVAS
- PELICULA SUPER-8
- DOCUMENTOS DIVERSOS

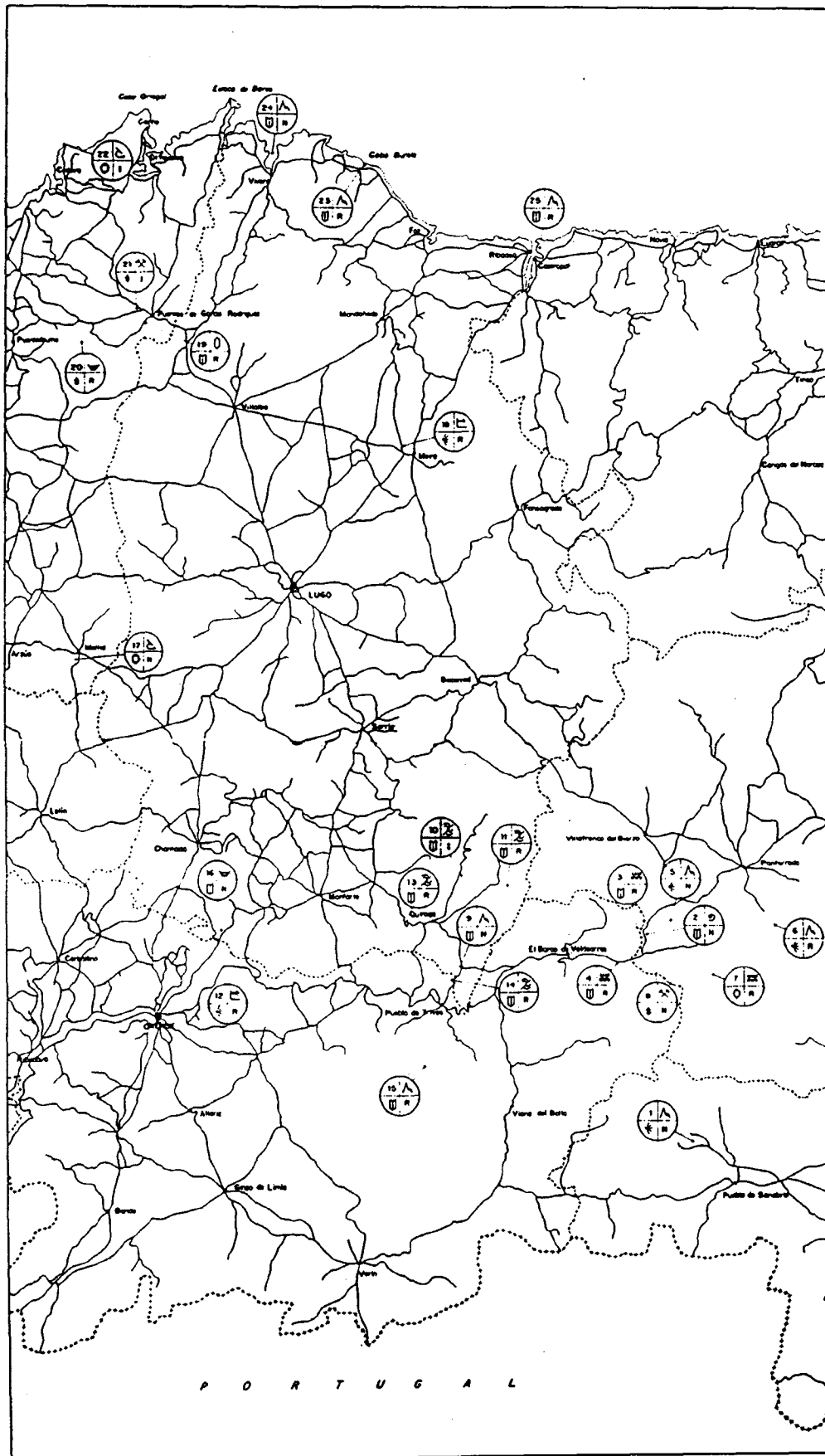
FICHAS CONTENIDAS EN EL EXPEDIENTE

1.1. SITUACION GEOGRAFICO GEOLOGICA	<input checked="" type="checkbox"/>
1.2. DATOS FISIGRAFICOS CLIMATOLOGICOS Y ADMINISTRATIVOS	<input checked="" type="checkbox"/>
1.3. INCIDENCIAS PARA LA UTILIZACION DEL PUNTO	<input checked="" type="checkbox"/>
1.4. TIPOS DE INTERES	<input checked="" type="checkbox"/>
1.5. BIBLIOGRAFIA Y COMENTARIOS	<input checked="" type="checkbox"/>
2.1. FENOMENOS GEOLOGICOS RELACIONADOS CON PROCESOS SEDIMENTARIOS	<input type="checkbox"/>
2.2. " " " " " " METAMORFICOS	<input type="checkbox"/>
2.3. " " " " " " IGNEOS	<input type="checkbox"/>
3. " " " " " " LA DEFORMAC. DE LAS ROCAS	<input checked="" type="checkbox"/>
4. FORMAS DE EROSION Y CONSTRUCCION EN DIFERENTES MEDIOS	<input type="checkbox"/>
5. FENOMENOS RELACIONADOS CON LA GEOLOGIA APLICADA	<input type="checkbox"/>
6. YACIMIENTOS PALEONTOLOGICOS	<input type="checkbox"/>
7. MUSEOS COLECCIONES EDIFICIOS	<input type="checkbox"/>
8.	<input type="checkbox"/>
9.	<input type="checkbox"/>
10. DATOS COMPLEMENTARIOS PARA PLANIFICACION DE VISITAS	<input checked="" type="checkbox"/>
11. ESQUEMA DE SITUACION	<input checked="" type="checkbox"/>
12. ESQUEMA GEOLOGICO	<input checked="" type="checkbox"/>
13. BLOQUE DIAGRAMA	<input checked="" type="checkbox"/>
14. COLUMNAS Y CORTES GEOLOGICOS	<input checked="" type="checkbox"/>

PLIEGUE DEL CAUREL



PUNTOS DE INTERES GEOLOGICO
SECTORES CENTRAL Y ORIENTAL DE GALICIA



LEYENDA

IDENTIFICACION

- 1 Lago de Searosa
- 2 Monumento al granito de Souto de A Balsa
- 3 Valle de Paredes
- 4 Estructuras tectónicas de A Balsa
- 5 Las Viñas
- 6 Valle pedregoso y granito negro en Paredes de Searosa
- 7 Estructuras tectónicas en Valle de Castro
- 8 Fuente de Valle de S. Pedro de Trives
- 9 Monumento de Viveiro
- 10 Paredes de Castro
- 11 Estructuras en la zona oriental de Valle de Searosa
- 12 Torres de Ourense
- 13 Paredes de Castro orientales en las Travesas
- 14 Estructuras de granito orientales en Viveiro
- 15 Paredes pedregosas en Castro de Viveiro
- 16 Escudo de las Paredes
- 17 Paredes tectónicas en la zona oriental de Valle de Searosa
- 18 Viveiro
- 19 Dique de granito de Paredes de Castro Pedregosa
- 20 Escudo de Viveiro
- 21 Límite de Paredes de Castro Pedregosa
- 22 Paredes tectónicas orientales en Castro de Viveiro
- 23 Escudo de las Paredes de Viveiro
- 24 Río de Viveiro
- 25 Paredes tectónicas de Viveiro

TIPO DE INTERES POR SU CONTENIDO

- 100 Estructuras
- 101 Monumentos
- 102 Fuentes
- 103 Estructuras tectónicas
- 104 Paredes
- 105 Ciudades
- 106 Lagos
- 107 Monumentos
- 108 Ciudades
- 109 Ciudades
- 110 Ciudades
- 111 Ciudades
- 112 Ciudades
- 113 Ciudades
- 114 Ciudades
- 115 Ciudades
- 116 Ciudades
- 117 Ciudades
- 118 Ciudades
- 119 Ciudades
- 120 Ciudades
- 121 Ciudades
- 122 Ciudades
- 123 Ciudades
- 124 Ciudades
- 125 Ciudades
- 126 Ciudades
- 127 Ciudades
- 128 Ciudades
- 129 Ciudades
- 130 Ciudades
- 131 Ciudades
- 132 Ciudades
- 133 Ciudades
- 134 Ciudades
- 135 Ciudades
- 136 Ciudades
- 137 Ciudades
- 138 Ciudades
- 139 Ciudades
- 140 Ciudades
- 141 Ciudades
- 142 Ciudades
- 143 Ciudades
- 144 Ciudades
- 145 Ciudades
- 146 Ciudades
- 147 Ciudades
- 148 Ciudades
- 149 Ciudades
- 150 Ciudades
- 151 Ciudades
- 152 Ciudades
- 153 Ciudades
- 154 Ciudades
- 155 Ciudades
- 156 Ciudades
- 157 Ciudades
- 158 Ciudades
- 159 Ciudades
- 160 Ciudades
- 161 Ciudades
- 162 Ciudades
- 163 Ciudades
- 164 Ciudades
- 165 Ciudades
- 166 Ciudades
- 167 Ciudades
- 168 Ciudades
- 169 Ciudades
- 170 Ciudades
- 171 Ciudades
- 172 Ciudades
- 173 Ciudades
- 174 Ciudades
- 175 Ciudades
- 176 Ciudades
- 177 Ciudades
- 178 Ciudades
- 179 Ciudades
- 180 Ciudades
- 181 Ciudades
- 182 Ciudades
- 183 Ciudades
- 184 Ciudades
- 185 Ciudades
- 186 Ciudades
- 187 Ciudades
- 188 Ciudades
- 189 Ciudades
- 190 Ciudades
- 191 Ciudades
- 192 Ciudades
- 193 Ciudades
- 194 Ciudades
- 195 Ciudades
- 196 Ciudades
- 197 Ciudades
- 198 Ciudades
- 199 Ciudades
- 200 Ciudades

TIPO DE INTERES POR SU POSIBLE UTILIZACION

- 1 Turismo
- 2 Cultura
- 3 Paisaje
- 4 Recreación

TIPO DE INTERES POR SU INFLUENCIA

- 1 Local
- 2 Regional
- 3 Nacional
- 4 Internacional



1.1.- SITUACION GEOGRAFICO-GEOLOGICA

DENOMINACION

10. PLIEGUE DEL CAUREL

RASGOS COMPLEMENTARIOS

ESTRUCTURAS MENORES

SITUACION GEOGRAFICA

LUGO		PROVINCIAS		
QUIROGA		MUNICIPIOS		
LAS FORCADIÑAS		PARAJES		
		LOS CONUENTOS		
		H. 1/200.000		
ORENSE	17			
		H. 1/50.000		
MONFORTE	156			
COORDENADAS LAMBERT		Y/O	COORDENADAS GEOGRAFICAS	COTA
			3° 32' W	43° 32' N
				800
TIPO DE ACCESO				
Autopista <input type="checkbox"/>	C. Nal. Ra. <input type="checkbox"/>	C. Nacio. <input type="checkbox"/>	C. Comar. <input type="checkbox"/>	C. Local <input checked="" type="checkbox"/>
			C. Secun. <input type="checkbox"/>	Camino <input type="checkbox"/>
				Senda <input type="checkbox"/>
DISTANCIA KILOMETRICA A:				
Carretera Nacional	Estación de Ferrocarril	Aeropuerto	Puerto	
CN-120	47	MONFORTE	45	SANTIAGO
				173
				VIGO
				190
DISTANCIAS KILOMETRICAS DEL PUNTO A DISTINTAS CAP. DE PROV. U OTRAS CIUDADES IMPORTANTES				
MONFORTE	45	ORENSE	93	EL BAACO
				40
LUGO	110	QUIROGA	10	PONFERRADA
				86

SITUACION GEOLOGICA

ENTORNO GEOLOGICO

DOMINIO DEL CAUREL

UNIDAD GEOLOGICO-MINERA

ZONA ASTUROCCIDENTAL-LEONESA (H₃)

EDAD DEL RASGO

HERCINICO

EDAD DE LOS MATERIALES EN QUE SE ENCUENTRA

ORDOVICICO INFERIOR

LITOLOGIA DOMINANTE: Plutónicas Volcánicas Metamórficas Sedimentarias

MAGNITUD DEL PUNTO: < 0,1 ha. 0,1-10 ha. 10-1.000 ha. > 1.000 ha.

SITIO

LUGAR

PARAJE

CONDICIONES DE OBSERVACION:

Buena

Regular

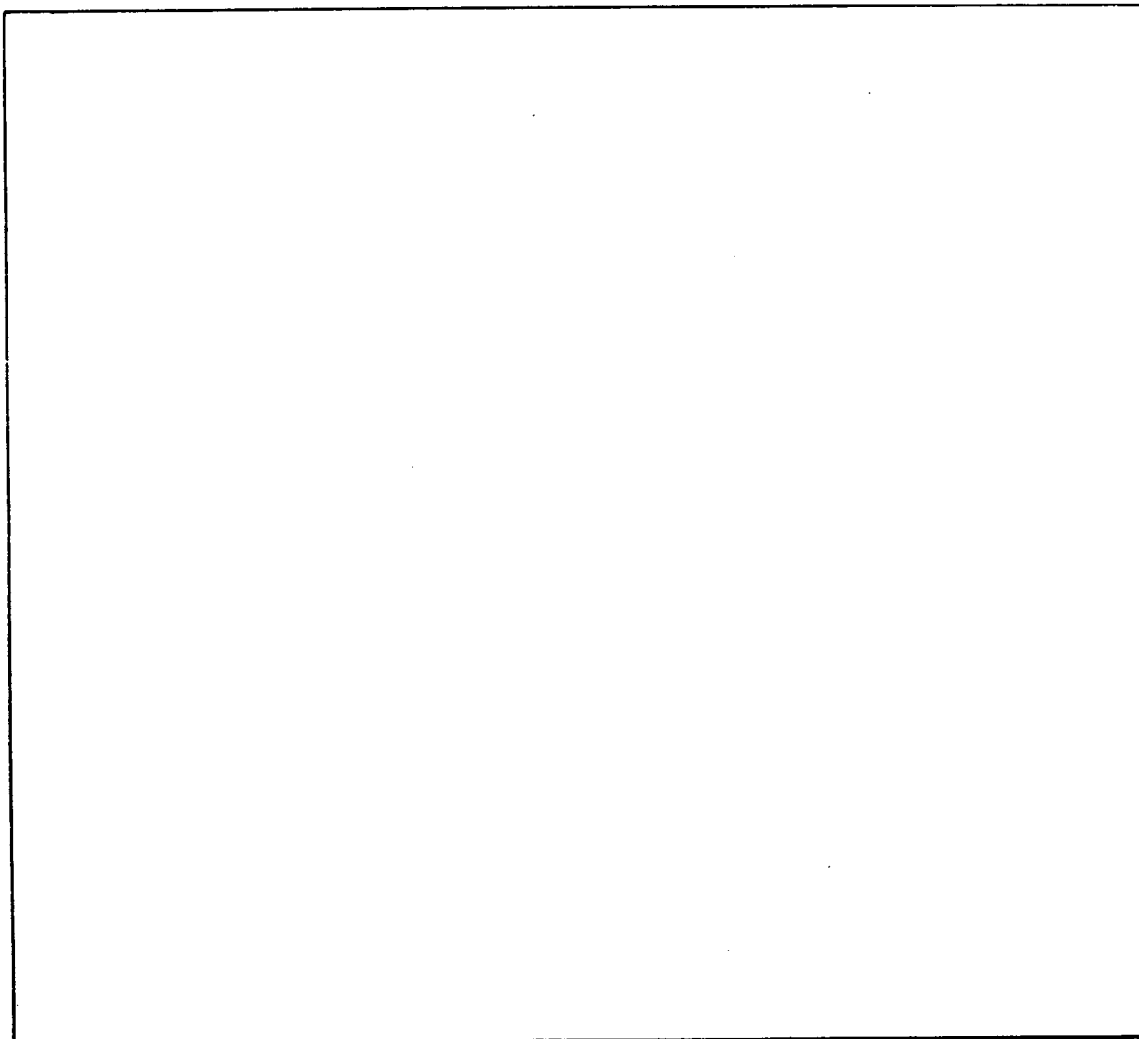
Mala

1.3.- INCIDENCIAS PARA LA UTILIZACION DEL PUNTO (Incluir unicamente si existen)

DATOS DE INCIDENCIAS

EN EL SECTOR W DEL PLIEGUE DEL CAUREL, POR ENCIMA DE LA CARRETERA DE QUIROGA, Y A LA ALTURA DE CAMPODOLA SE OBSERVA UNA PEQUEÑA CANTERA, AUNQUE ACTUALMENTE PARECE ABANDONADA, SERIA CONVENIENTE IMPEDIR CUALQUIER TIPO DE ACTIVIDADES DE EXTRACCION EN LA PROXIMIDADES DEL PLIEGUE DEL CAUREL.

CROQUIS DE INCIDENCIAS



1.4.- TIPOS DE INTERES

POR SU CONTENIDO

	Bajo	Medio	Alto		Bajo	Medio	Alto
ESTRATIGRAFICO	<input checked="" type="checkbox"/>	<input type="checkbox"/>	<input type="checkbox"/>	MINERO	<input type="checkbox"/>	<input type="checkbox"/>	<input type="checkbox"/>
PALEONTOLOGICO	<input checked="" type="checkbox"/>	<input type="checkbox"/>	<input type="checkbox"/>	MINERALOGICO	<input type="checkbox"/>	<input type="checkbox"/>	<input type="checkbox"/>
TECTONICO	<input type="checkbox"/>	<input type="checkbox"/>	<input checked="" type="checkbox"/>	GEOMORFOLOGICO	<input checked="" type="checkbox"/>	<input type="checkbox"/>	<input type="checkbox"/>
HIDROGEOLOGICO	<input type="checkbox"/>	<input type="checkbox"/>	<input type="checkbox"/>	GEOFISICO	<input type="checkbox"/>	<input type="checkbox"/>	<input type="checkbox"/>
PETROLOGICO	<input checked="" type="checkbox"/>	<input type="checkbox"/>	<input type="checkbox"/>	GEOQUIMICO	<input type="checkbox"/>	<input type="checkbox"/>	<input type="checkbox"/>
GEOTECNICO	<input type="checkbox"/>	<input type="checkbox"/>	<input type="checkbox"/>	MUSEOS Y COLECCIONES	<input type="checkbox"/>	<input type="checkbox"/>	<input type="checkbox"/>
.....	<input type="checkbox"/>	<input type="checkbox"/>	<input type="checkbox"/>	<input type="checkbox"/>	<input type="checkbox"/>	<input type="checkbox"/>

POR SU UTILIZACION

	Bajo	Medio	Alto		Bajo	Medio	Alto
TURISTICO	<input type="checkbox"/>	<input checked="" type="checkbox"/>	<input type="checkbox"/>	DIDACTICO	<input type="checkbox"/>	<input type="checkbox"/>	<input checked="" type="checkbox"/>
CIENTIFICO	<input type="checkbox"/>	<input type="checkbox"/>	<input checked="" type="checkbox"/>	ECONOMICO	<input checked="" type="checkbox"/>	<input type="checkbox"/>	<input type="checkbox"/>

POR SU INFLUENCIA

LOCAL
 REGIONAL
 NACIONAL
 INTERNACIONAL

DESCRIPCION GENERAL

SE TRATA DEL MAYOR PLIEGUE TUMBADO QUE PUEDE OBSERVARSE EN LA PENINSULA IBERICA; SE DESARROLLA SOBRE CUARCITA ARMORICANA. EL ACCESO AL SECTOR DE LA FORCADIÑAS ES BASTANTE PENOSO, PERO PERMITE EL HACER INTERESANTES OBSERVACIONES DE DETALLE TANTO EN LOS FLANCOS DEL PLIEGUE COMO EN LAS CHARNELAS DE LOS PLIEGUES DE ARRASTRE.

3.- FENOMENOS RELACIONADOS CON LA DEFORMACION DE LAS ROCAS

TIPO DE DEFORMACION

Deformación rígida	<input type="checkbox"/> A <input type="checkbox"/> B	Deformación plástica	<input type="checkbox"/> A <input type="checkbox"/> B	Deformación combinada	<input type="checkbox"/> A <input type="checkbox"/> B
Deformaciones tectónicas	<input checked="" type="checkbox"/> A <input type="checkbox"/> B	Deformaciones por gravedad	<input type="checkbox"/> A <input type="checkbox"/> B		

FRACTURACION

FALLAS

Plano de Falla	<input type="checkbox"/> A <input type="checkbox"/> B	Estrías de Falla	<input type="checkbox"/> A <input type="checkbox"/> B	Arrastres de Falla	<input type="checkbox"/> A <input type="checkbox"/> B	Fallas conjugadas	<input type="checkbox"/> A <input type="checkbox"/> B
Fallas normales	<input type="checkbox"/> A <input type="checkbox"/> B	Fallas inversas	<input type="checkbox"/> A <input type="checkbox"/> B	Fallas de desgarre	<input type="checkbox"/> A <input type="checkbox"/> B	Fallas onduladas	<input type="checkbox"/> A <input type="checkbox"/> B
Fallas mixtas	<input type="checkbox"/> A <input type="checkbox"/> B	Fallas verticales	<input type="checkbox"/> A <input type="checkbox"/> B	Fallas tendidas	<input type="checkbox"/> A <input type="checkbox"/> B	Otros	<input type="checkbox"/> A <input type="checkbox"/> B

DIACLASAS

Diaclasas de extensión	<input type="checkbox"/> A <input type="checkbox"/> B	Diaclasas de compresión	<input type="checkbox"/> A <input type="checkbox"/> B	Diaclasas de descompresión	<input type="checkbox"/> A <input type="checkbox"/> B	Diaclasas rellenas	<input type="checkbox"/> A <input type="checkbox"/> B
Suturas estilolíticas	<input type="checkbox"/> A <input type="checkbox"/> B	Gash Joint	<input type="checkbox"/> A <input type="checkbox"/> B	Paralelas	<input type="checkbox"/> A <input type="checkbox"/> B	Subortogonales	<input type="checkbox"/> A <input type="checkbox"/> B
Irregulares	<input type="checkbox"/> A <input type="checkbox"/> B	Concéntricas	<input type="checkbox"/> A <input type="checkbox"/> B	Radiales	<input type="checkbox"/> A <input type="checkbox"/> B	Conjugadas	<input type="checkbox"/> A <input type="checkbox"/> B
Asociadas a fallas normales	<input type="checkbox"/> A <input type="checkbox"/> B	Asociadas a fallas inversas	<input type="checkbox"/> A <input type="checkbox"/> B	Asociadas a fallas de desgarre	<input type="checkbox"/> A <input type="checkbox"/> B		

PLEGAMIENTO

Anticlinal	<input type="checkbox"/> A <input checked="" type="checkbox"/> B	Sinclinal	<input checked="" type="checkbox"/> A <input type="checkbox"/> B	Monoclinal	<input type="checkbox"/> A <input type="checkbox"/> B	Pliegue recto	<input type="checkbox"/> A <input type="checkbox"/> B
Pliegue inclinado	<input type="checkbox"/> A <input type="checkbox"/> B	Pliegue Tumbado	<input checked="" type="checkbox"/> A <input type="checkbox"/> B	Pliegue en abanico	<input type="checkbox"/> A <input type="checkbox"/> B	Pliegue de ejes curvos	<input type="checkbox"/> A <input type="checkbox"/> B
Pliegues anisopacos	<input type="checkbox"/> A <input type="checkbox"/> B	Pliegues isópacos-paralelos	<input type="checkbox"/> A <input type="checkbox"/> B	Otros (1)	<input checked="" type="checkbox"/> A <input type="checkbox"/> B		

ESTRUCTURAS MENORES

Micropliegues	<input checked="" type="checkbox"/> A <input type="checkbox"/> B	Esquistosidad	<input checked="" type="checkbox"/> A <input type="checkbox"/> B	Lineación	<input type="checkbox"/> A <input type="checkbox"/> B
Boudinage	<input checked="" type="checkbox"/> A <input type="checkbox"/> B	Microfracturas	<input checked="" type="checkbox"/> A <input type="checkbox"/> B	Rodings	<input type="checkbox"/> A <input type="checkbox"/> B
Mullions	<input type="checkbox"/> A <input type="checkbox"/> B	Objetos deformados	<input type="checkbox"/> A <input type="checkbox"/> B	Otras	<input type="checkbox"/> A <input type="checkbox"/> B

ESTRUCTURAS MAYORES

Pliegue-Falla	<input type="checkbox"/> A <input type="checkbox"/> B	Escama	<input type="checkbox"/> A <input type="checkbox"/> B	Manto de corrimiento	<input type="checkbox"/> A <input type="checkbox"/> B	Ventana tectónica	<input type="checkbox"/> A <input type="checkbox"/> B
Isleo tectónico	<input type="checkbox"/> A <input type="checkbox"/> B	Anticlinorio	<input type="checkbox"/> A <input type="checkbox"/> B	Sinclinorio	<input type="checkbox"/> A <input type="checkbox"/> B	Diapiro	<input type="checkbox"/> A <input type="checkbox"/> B
Horst (Pilar)	<input type="checkbox"/> A <input type="checkbox"/> B	Fosa (Graben)	<input type="checkbox"/> A <input type="checkbox"/> B	Otras	<input checked="" type="checkbox"/> A <input type="checkbox"/> B		

DEFORMACIONES POR GRAVEDAD Y MIXTAS

Pliegue-en cascada	<input type="checkbox"/> A <input type="checkbox"/> B	Pliegues en petaca	<input type="checkbox"/> A <input type="checkbox"/> B	Hojas de deslizamiento	<input type="checkbox"/> A <input type="checkbox"/> B	Olitos tromas	<input type="checkbox"/> A <input type="checkbox"/> B
Slumpings	<input type="checkbox"/> A <input type="checkbox"/> B	Estructuras combinadas	<input type="checkbox"/> A <input type="checkbox"/> B	Estructuras complejas	<input type="checkbox"/> A <input type="checkbox"/> B		

MOVIMIENTOS DEL TERRENO

Derrumbamientos	<input type="checkbox"/> A <input type="checkbox"/> B	Desprendimientos	<input type="checkbox"/> A <input type="checkbox"/> B	Deslizamientos	<input type="checkbox"/> A <input type="checkbox"/> B	Hundimientos	<input type="checkbox"/> A <input type="checkbox"/> B
Caída de bloques	<input type="checkbox"/> A <input type="checkbox"/> B	Desplome de bóvedas	<input type="checkbox"/> A <input type="checkbox"/> B	Aterramientos	<input type="checkbox"/> A <input type="checkbox"/> B	Inundaciones	<input type="checkbox"/> A <input type="checkbox"/> B
Avalanchas de Piedras	<input type="checkbox"/> A <input type="checkbox"/> B	Coladas de barro y bloques	<input type="checkbox"/> A <input type="checkbox"/> B	Otros	<input type="checkbox"/> A <input type="checkbox"/> B		

OBSERVACIONES:

(1) PLIEGUES DE ARRASTRE

LOS MATERIALES QUE CONSTITUYEN EL PLIEGUE SON LAS CUARCITAS ARMORICANAS Y LOS ESQUISTOS DEL ORDOVICIO-SILURICO. EN LA PARTE MEDIA DEL MACIZO, EL FLANCO INVERSO PUEDE ALCANZAR LOS 9 Km.

10.- DATOS COMPLEMENTARIOS PARA LA PROGRAMACION DE VISITAS (*)

APARCAMIENTO

Factible para coches Factible para autobuses No Factible

ACCESO

En buenas condiciones
 En malas condiciones por: Firme Hielo Tráfico Otras

ACONDICIONAMIENTO

Mirador	<input type="checkbox"/>	Existencia de arboleda	<input type="checkbox"/>	Próximo a fuente	<input type="checkbox"/>
Espacio para acampada	<input type="checkbox"/>	Existencia de mesas, bancos, etc.	<input type="checkbox"/>	Restaurante	<input type="checkbox"/>
Bar	<input type="checkbox"/>	Teléfono	<input type="checkbox"/>	Camping	<input type="checkbox"/>
Guías turísticas	<input type="checkbox"/>	Refugio	<input type="checkbox"/>	Itinerarios señalizados	<input type="checkbox"/>
Peligro para niños	<input type="checkbox"/>	No factible para personas de avanzada edad	<input type="checkbox"/>	Posibilidad practicar deporte	<input type="checkbox"/>
Recogida de rocas y minerales	<input type="checkbox"/>	Recogida de fósiles	<input type="checkbox"/>	Recogida de plantas	<input checked="" type="checkbox"/>

TIEMPO NECESARIO PARA UN RECONOCIMIENTO NORMAL

0 - 2 horas 2 horas - 1 día más de 1 día

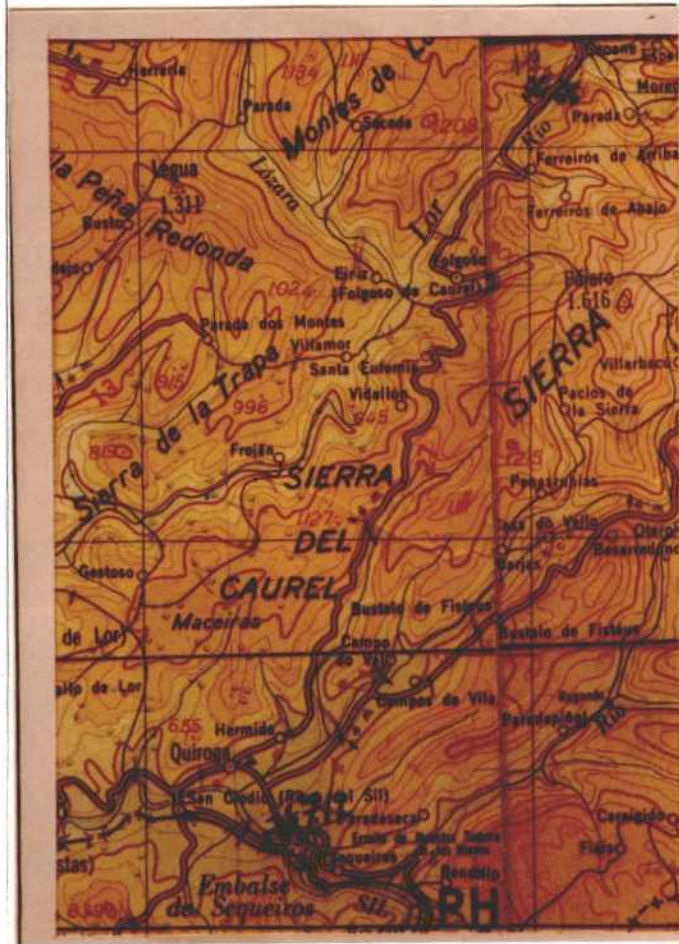
ALOJAMIENTO PARA GRUPOS EN LOCALIDADES PROXIMAS

Ciudad
 Bueno Regular Malo

PUNTOS PROXIMOS DE INTERES GEOLOGICO

Denominación del punto	Referencia
MINAS DE VILLARBAJÚ	38 - LU
VALLE DEL LOR EN SEOANE	40 - LU
ESTRUCTURAS DE PICO PAJARO	41 - LU
DESIZAMIENTOS EN EL CAMBRICO DE SEOANE	43 - LU
PLIEGUES EN LAS TRAVIESAS	15 - LU

11.- ESQUEMA DE SITUACION



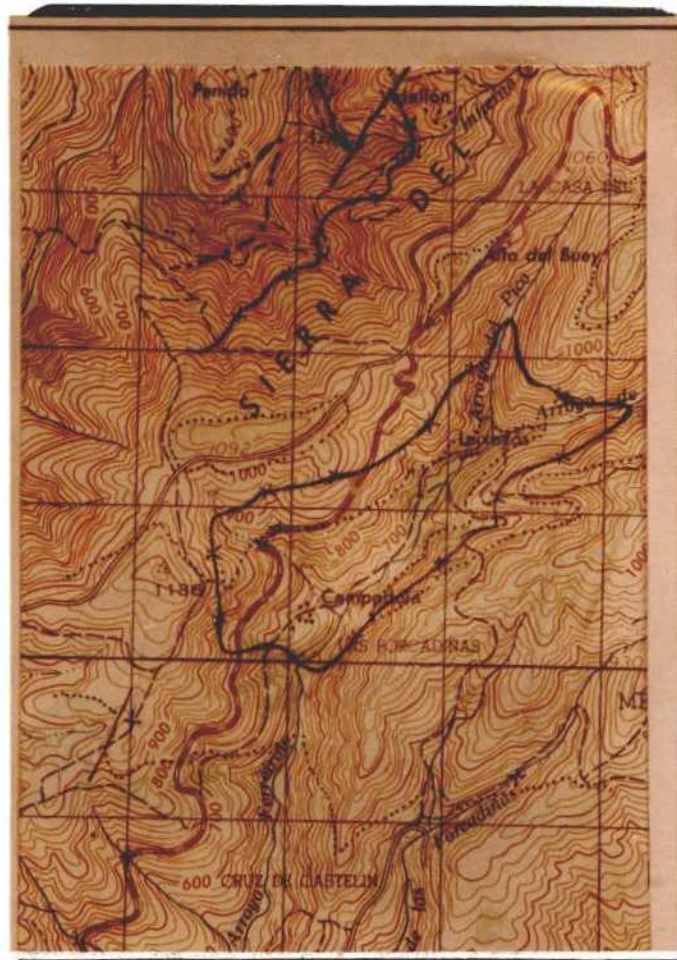
E. 1:200.000

SIGNOS

- Carretera Firme especial
- Carretera Firme ligera o corriente (macadam)
- Carretera o pista Firme muy escaso o sin firme
- Camino carretero
- Camino de herradura o senda
- Carretera nacional radial, nacional
- Carretera comarcal
- Ancho carretera en metros
- Pendientes del 5 al 8% superiores al 8%
- Ferrocarril Via sencilla, ancho normal (1.674 m)
- Ferrocarril electrificado
- Paso superior (carretera sobre F. C.)
- Paso a nivel
- Estación Apeadero
- Cerca metálica, alamborada

- Molino de viento Aeromotor Molino de agua
- Ermita Iglesia monasterio
- Cementerio Ruinas históricas
- Estación de Servicio
- Torre o poste metálico Antena de TV o Radio
- Dique muro de piedra Cueva
- Depósito de agua elevado, cubierto
- Cantero o mina en explotación abandonada
- Cabañada Cortal
- Fuente o manantial Pozo
- Geltru** Poblaciones de 25.000 a 100.000 habitantes
- Reinosa** Poblaciones de 5.000 a 25.000 habitantes
- Selaya** Poblaciones de 1.000 a 5.000 habitantes
- Poblaciones de menos de 1.000 habitantes
- Caseríos cortijos granjas tébricas, ermitas, etc.
- Valneta Vertices, puestos, etc.

11.- ESQUEMA DE SITUACION

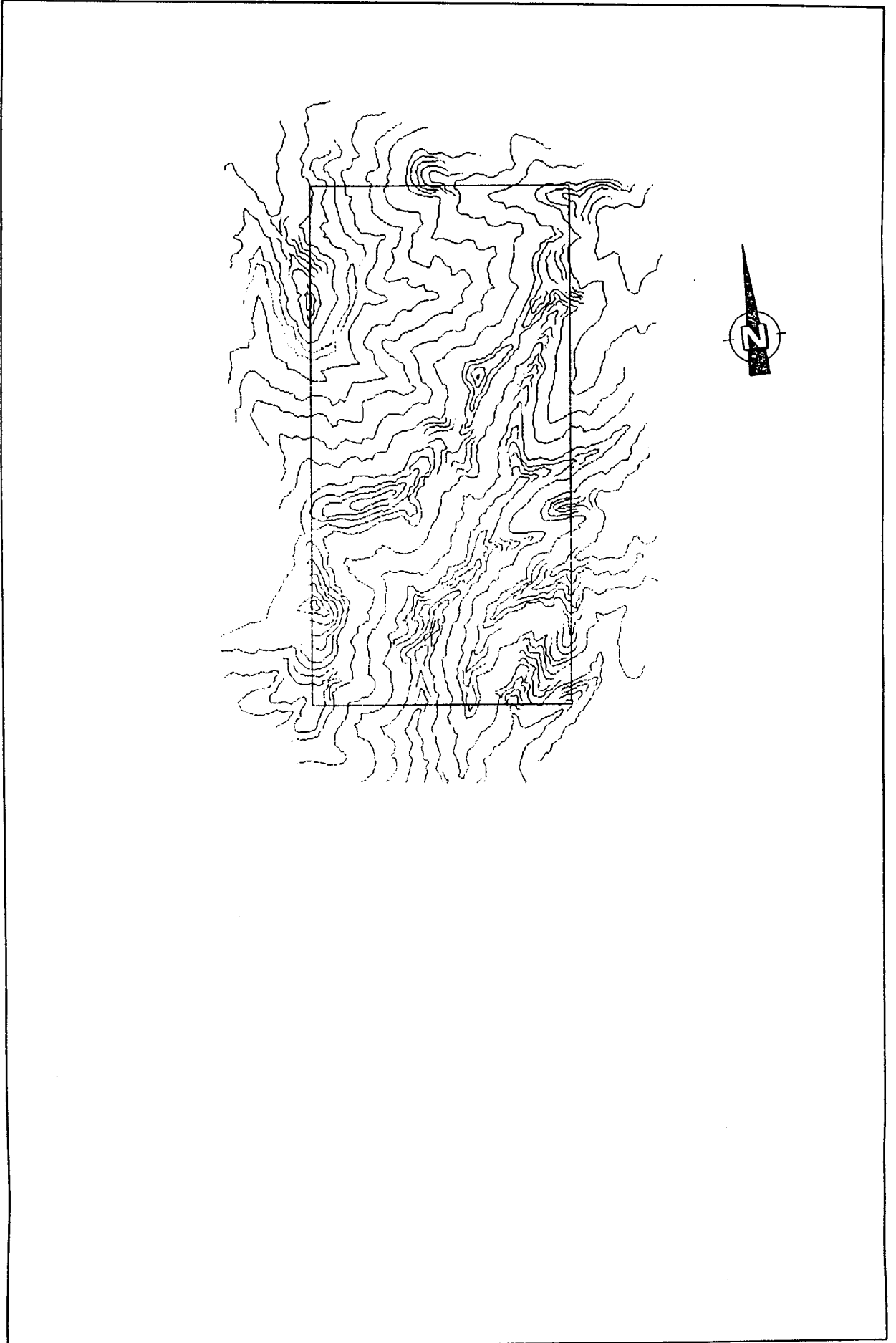


E. 1:50.000

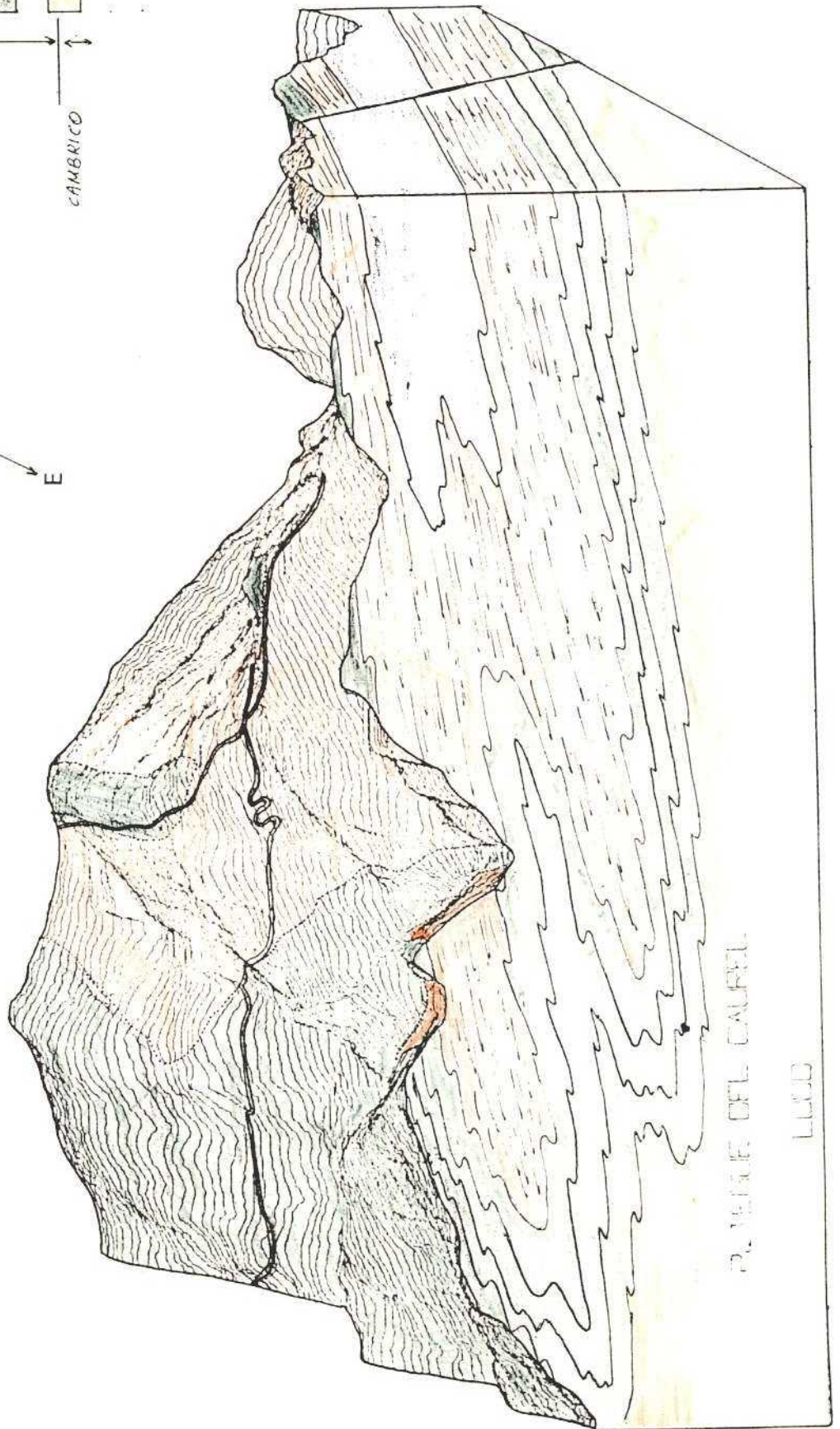
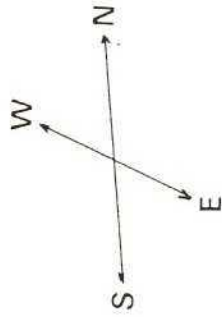
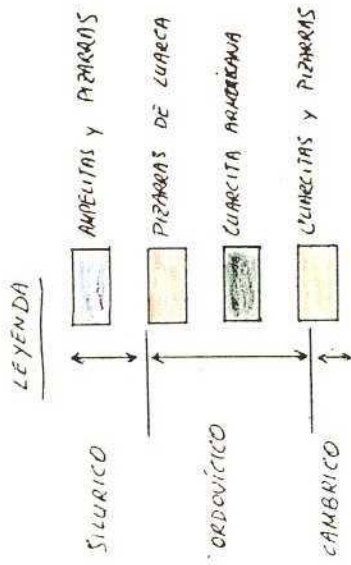
SIGNOS

	Carretera firme especial		Molino de viento		Aeromotor		Molino de agua
	Carretera firme ligero o corriente (macadam)		Ermita		Iglesia		monasterio
	Carretera o pista firme muy escaso o sin firme		Cementerio		Ruinas históricas		Estación de servicio
	Camino carretero		Torre o poste metálico		Antena de TV o Radio		Dique muro de piedra
	Camino de herradura o senda		Depósito de agua elevado; cubierto		Cantera o mina en explotación		abandonada
	Carretera nacional radial, nacional		Casa lavada		Corral		Fuente o manantial
	Carretera comarcal		Pozo		Geltrú		Reinosa
	Ancho carretera en metros		Selaya		Cueva		Lugar
	Pendientes del 5 al 8% >; superiores al 8%		Granjías		Fábricas		Ermitas, etc.
	Ferrocarril Via sencilla, ancho normal (1,674 m)		Valnera		Puentes		etc.
	Ferrocarril electrificado						
	Paso superior (carretera sobre F. C.)						
	Paso a nivel						
	Estación Apeadero						
	Cerca metálica, alambrada						

13.- BLOQUE - DIAGRAMA .



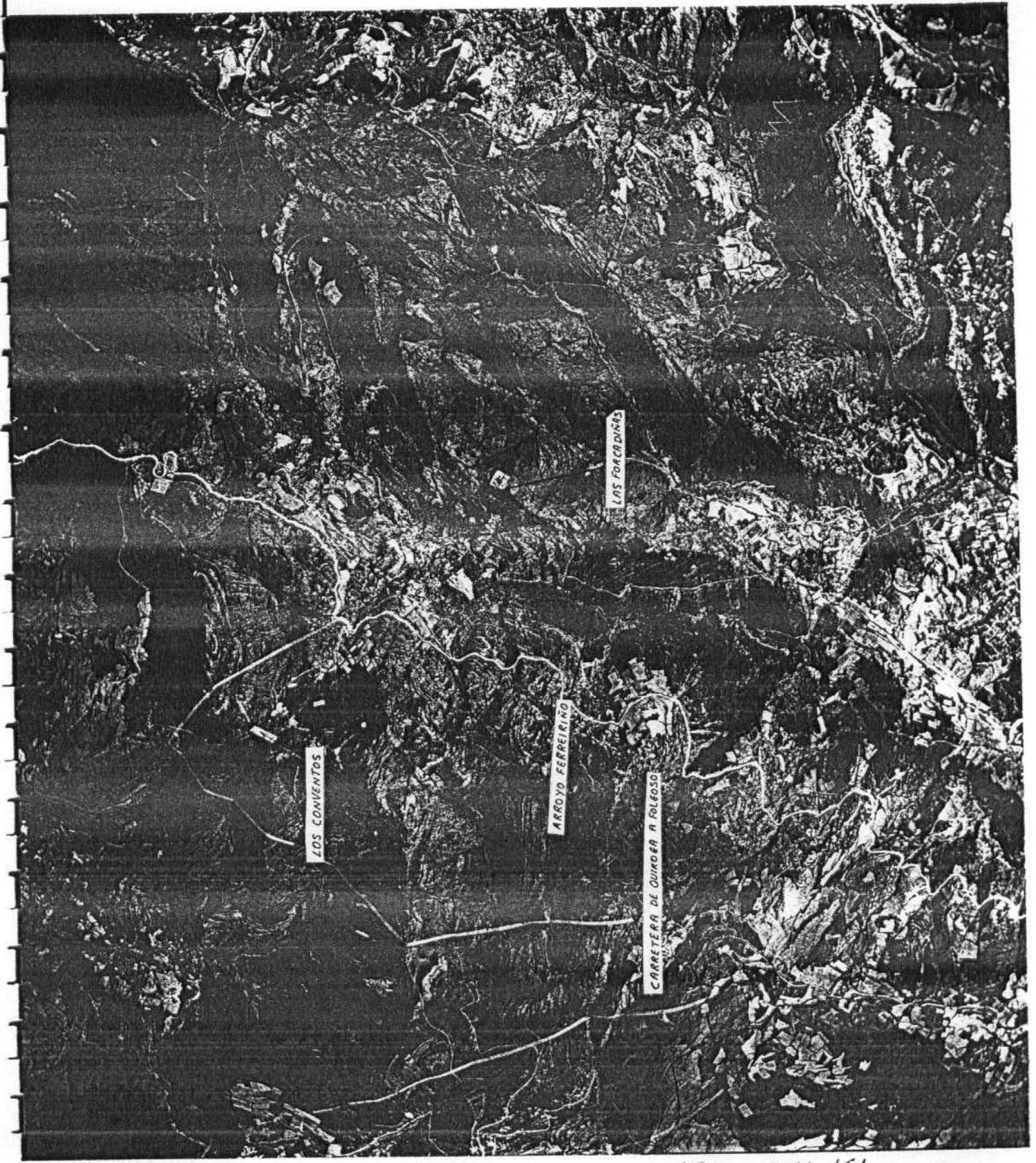
13.- BLOQUE - DIAGRAMA



PAJON DE CAJAFEL

LUARCA

FOTOGRAFIAS



14960 ROLL-161



Panorámica del gran sinclinal tumbado de la sierra del Caurel (tomada desde la carretera de Quiroga a Seoane del Caurel)



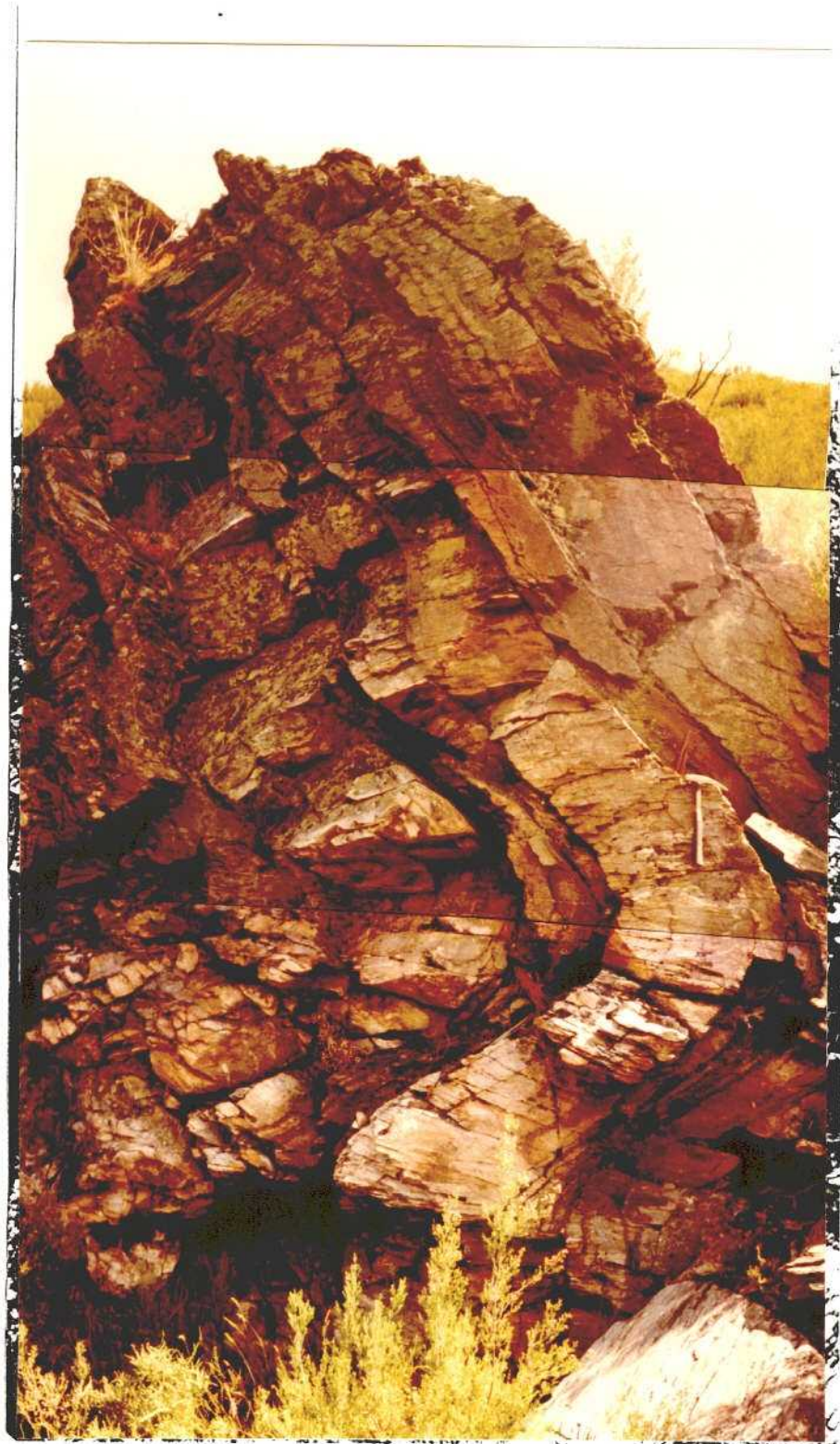
Detalle de charnelas y pliegues de arrastre en el sinclinal del Caurel.



El pliegue del Caurel debe su espectacularidad a las importantes diferencias de relieve; el arroyo Ferreiriño discurre en este punto a unos 500 m, mientras que en las Forcadiñas se alcanzan los 1.000 m.



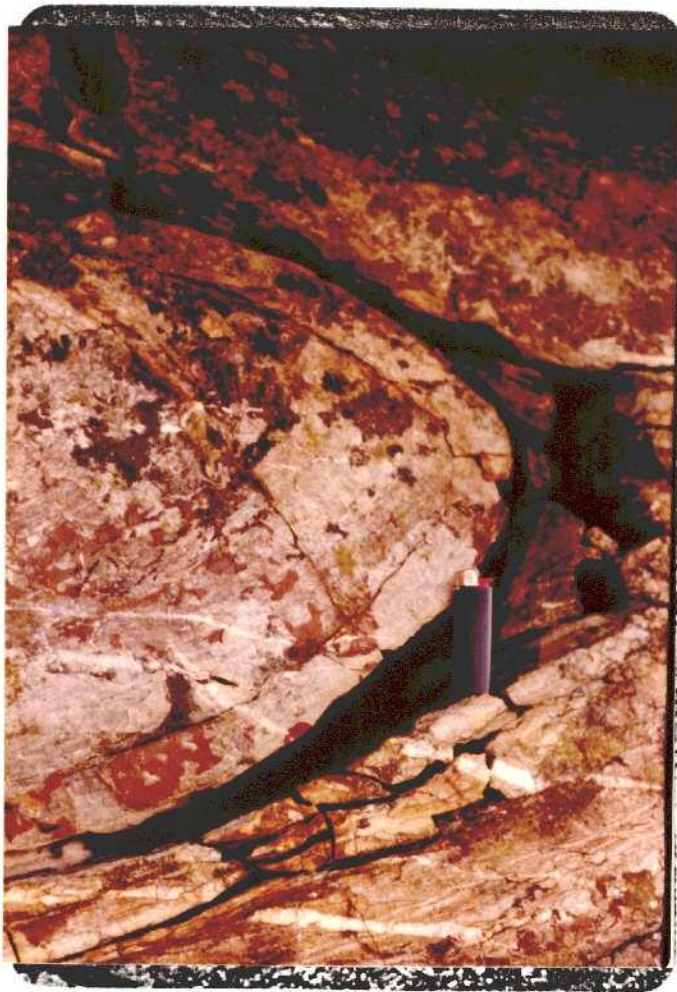
Detalle de la zona de charnela y del flanco inverso, donde los estratos llegan a ser horizontales pero invertidos.



Detalle de una charnela en cuarcitas armóricas.



Estructura de pinch and swell en el flanco de un pliegue, resultado de una extensión perpendicular a su longitud (boudinage).



En la fotografía detalle de una charnela. Las capas 1 y 2 están en contacto en los flancos del pliegue, en la charnela se encuentra material menos competente que ha migrado del pequeño nivel 3.



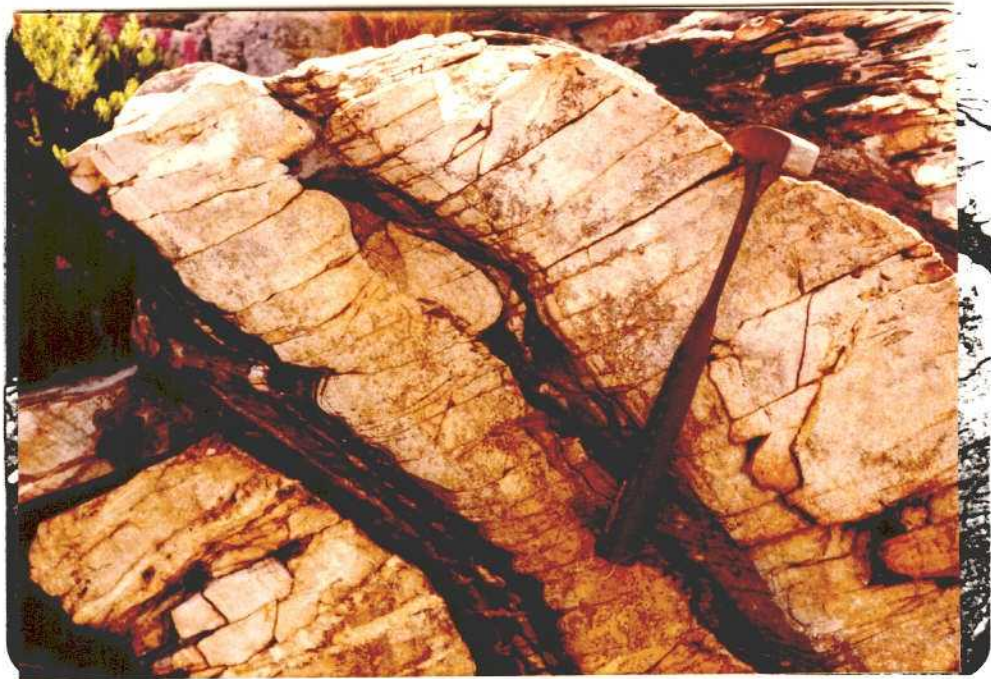
En la fotografía se observan boudines y refracción de la esquistosidad.



Detalle de la esquistosidad de flujo en los esquistos y de fractura en las cuarcitas.



Obsérvese la refracción de la esquistosidad al pasar de un nivel competente a otro incompetente y viceversa.



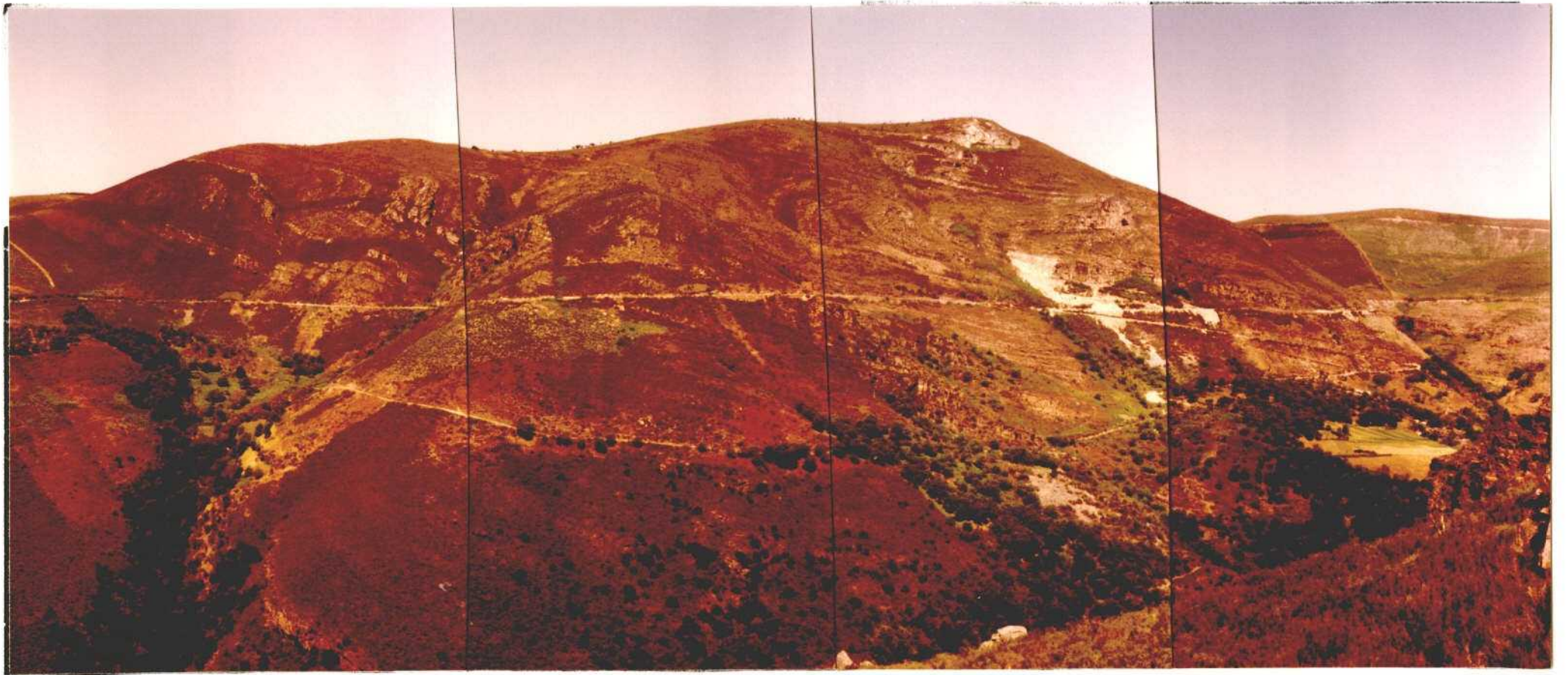
Idem foto anterior



Esquistosidad de flujo–fractura. los lentejones claros están limitados por fracturas, los niveles oscuros muestran como esquistosidad de flujo.



Panorámica de los Conventos desde los Forcadiñas, el N se encuentra a la derecha. Obsérvese la cantera donde se han explotado algunos niveles de cuarcita.



Desde las Forcadiñas se tiene esta panorámica de "Los Conventos", donde se observan los pliegues de arrastre en el flanco inverso del sinclinal del Caurel.



Continuación de la fotografía anterior hacia el N. La pista 1 conduce al pueblo (prácticamente abandonado) de Leixazos, la pista 2 a Vilar de Lor, mientras que la carretera 3 conduce a Folgoso del Caurel.



Panorámica del gran sinclinal tumbado de la Sierra del Caurel, sobre la carretera de Quiroga a Seoane del Caurel.

INFORMES COMPLEMENTARIOS

2° *Le pli couché de la Sierra de Caurel :*

Le pli couché de la Sierra de Caurel est une unité supérieure dans le flanc Sud-Ouest du précédent et affecte seulement le Paléozoïque à l'affleurement (fig. 28, planche II, coupe 3). Ce pli couché est moins important que le précédent mais il est plus spectaculaire, car les différences de relief sont beaucoup plus importantes (400 à 1 600 m) et les quartzites armoricains qui forment l'ossature de ce massif se détachent bien avec leur teinte claire sur les schistes foncés de l'Ordovicien et du Silurien (fig. 29).

Dans la partie moyenne du massif où la direction du pli couché est Est-Ouest, le flanc inverse atteint 9 km (fig. 28).

Plus à l'Ouest, on ne voit plus la totalité du flanc inverse, encore très important (fig. 30), car le pli couché est ployé par la phase 2 et les quartzites armoricains s'ennoient sous les schistes ordoviciens.

Vers le Sud-Est l'amplitude du pli couché diminue peu à peu. En même temps, les plans axiaux se redressent et on passe en 20 kilomètres de plis couchés isoclinaux (fig. 31) de direction Est-Ouest à des plis en chevron simplement déversés de direction Nord 120° (fig. 32).

La Sierra de Caurel est très intéressante à ce titre car on peut y étudier parfaitement bien l'évolution du style des plis, qui sont nombreux à toutes les échelles, vers le Sud-Est, et observer les relations des structures majeures et mineures.

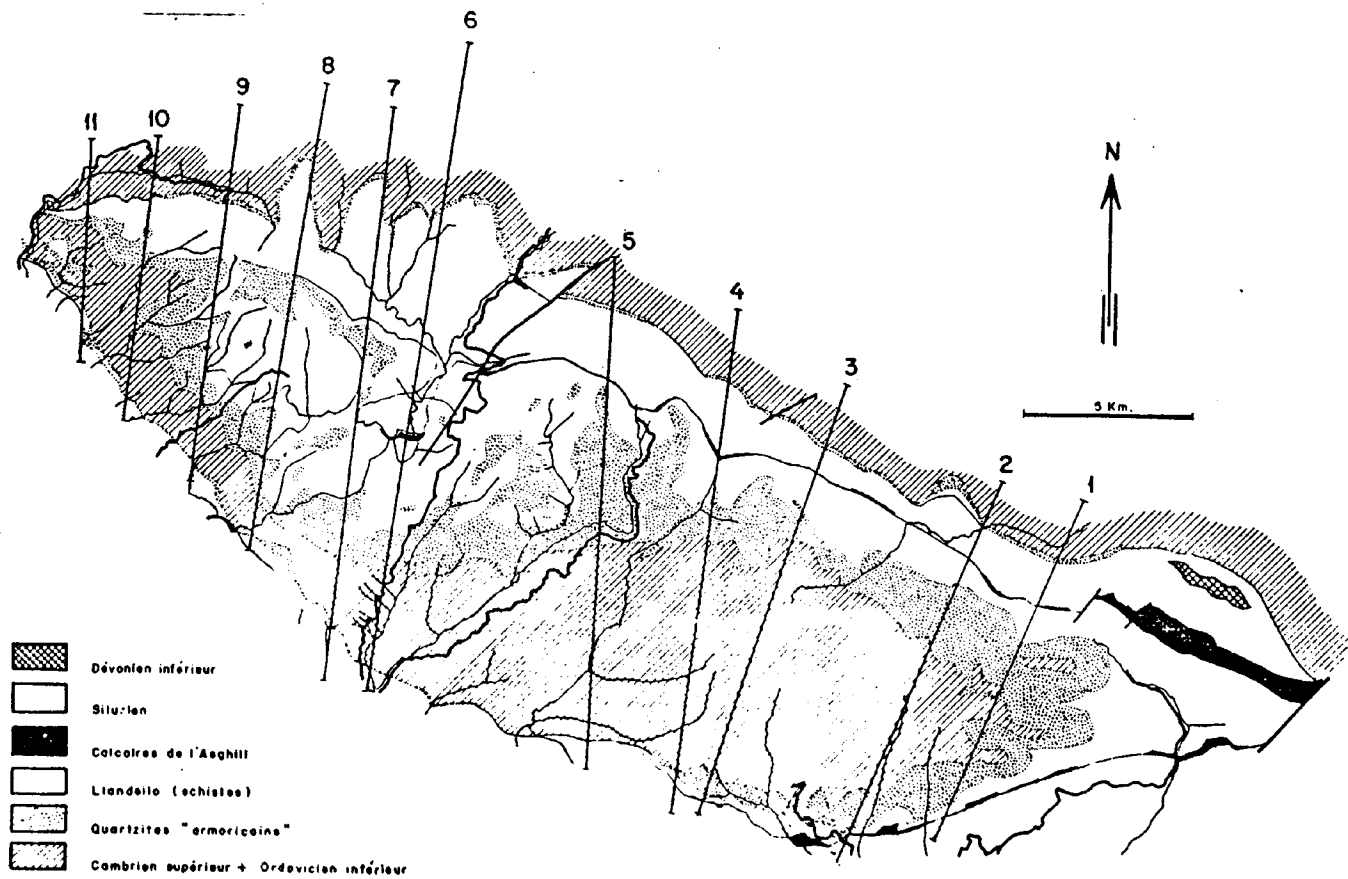


Fig. 13. — Carte géologique de la Sierra de Caurel montrant la légère discordance du Silurien sur son substratum ordovicien, avec emplacement des coupes de la fig. 27. (En partie d'après W. RIEMER, 1963.)

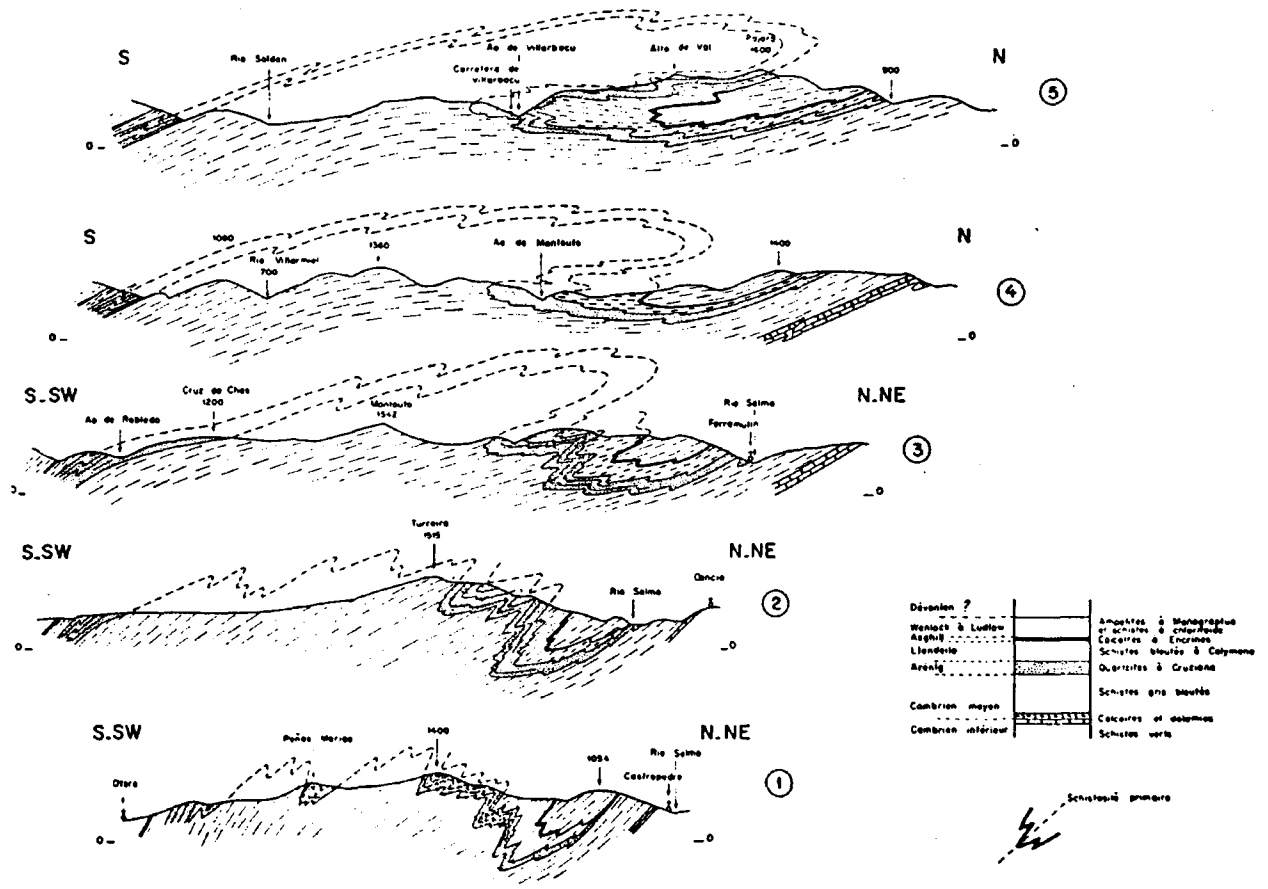


Fig. 28. — Coupes de la Sierra de Caurel.

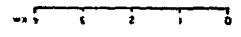
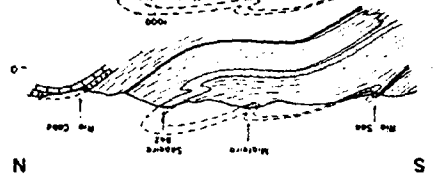
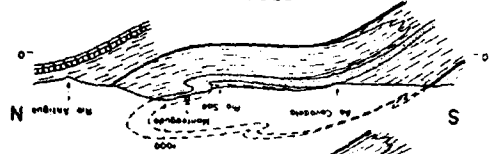
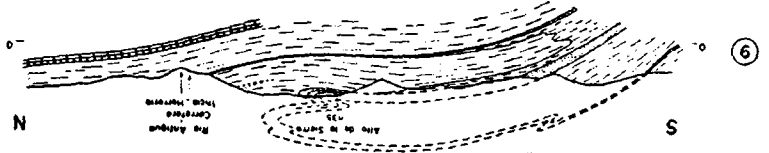
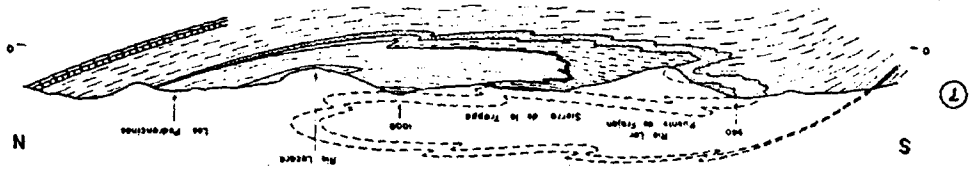




Fig. 29. — Le grand synclinal de la Sierra de Caurel couché vers le Nord au niveau des quartzites armoricains.
Longueur approximative du panorama : 2,5 km (vu de la route de Quiroga à Séoane de Caurel).
(Le Nord est à gauche.)



Fig. 30. — Le front du grand anticlinal couché de la Sierra de Caurel dans la région de Monteagudo (vu du village de Busto).
Longueur approximative du panorama : 3 km.
(Le Nord est à droite.)

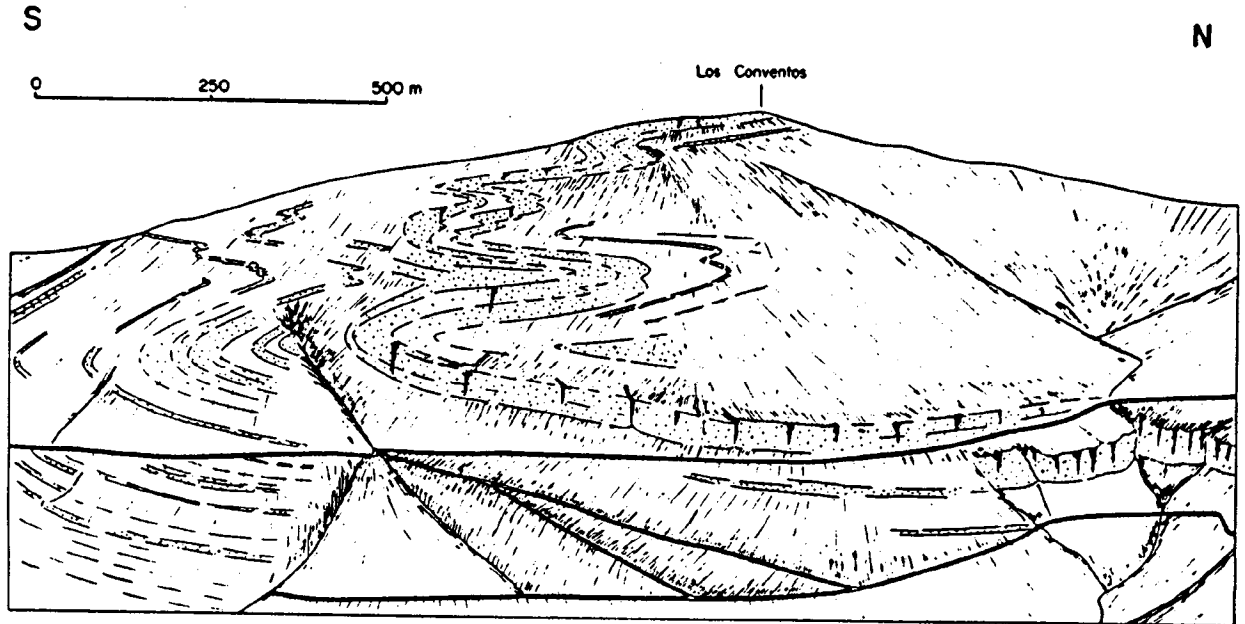


Fig. 31. — Le grand synclinal couché de la Sierra de Caurel sur la route de Quiroga à Séoane de Caurel (détail de la coupe 6 de la fig. 28). On remarque les replis de flanc inverse dans le flanc inverse.

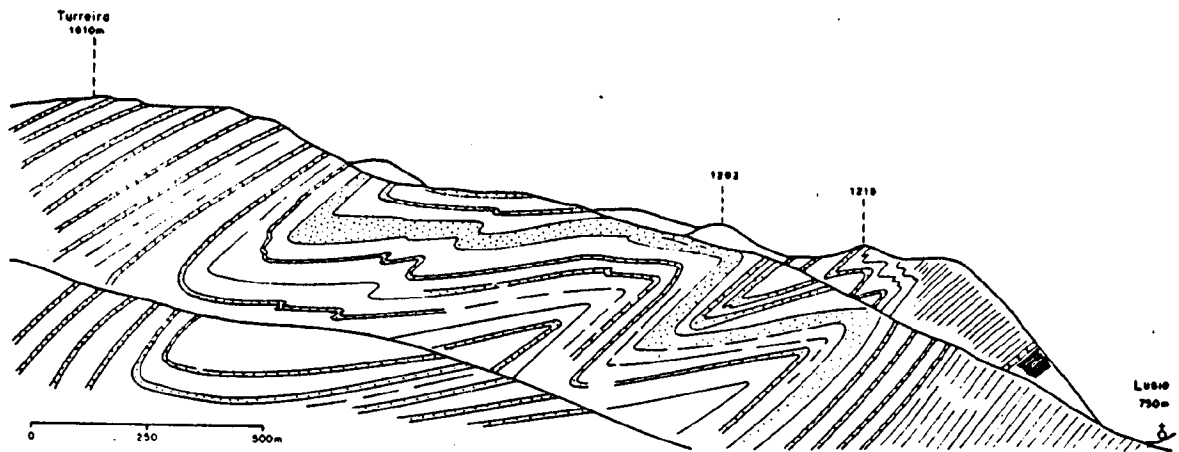


Fig. 32. — Replis en chevrons dans le flanc Nord de l'anticlinal déversé de la Sierra de Caurel (détail de la coupe 2 de la fig. 28).